



## **Доповіді НАН України. – 2014. – N 5.**

### **Зміст    Contents**

**PDF-файли статей будуть доступні у травні 2015 року.**

| [Вибір номера](#) | [Головна сторінка журналу](#) |

## Зміст

---

### Математика

Волотов Д. В. Топологія слоєній неотрицательної кривизни на п'ятимерних многообразіях II .....	7
Герасименко В. І., Федчун Ю. Ю. Кінетичні рівняння активної м'якої речовини .....	11
Ефимушкін А. С., Раланов В. И. О регуляризмах решинних задачах Римана-Гильбергта для уравнений Бельтрамі .....	19
Іванюк О. В., Орловський І. В. Асимптотичні властивості оцінки параметрів лінійної регресії у випадку слабко залежних регресорів .....	24
Курдаченко Л. А., Субботін І. Я., Чупорда В. А. Про структуру модулів над узагальнено розв'язками групами .....	29

### Інформатика та кібернетика

Грицук В. В., Вондарук А. В., Грицик В. В., Кравець І. І., Оліотян Ю. В., Цмоць І. Г. Інформаційна технологія програмно-керованих растроїв зображення у системах комп'ютерного зору .....	34
Сирік С. В., Сальников Н. Н. О применении сосредоточения в методе конечных элементов Петрова-Галеркина при решении задач конвекции-дифузии .....	39
Шевченко А. І., Минченко А. С. Особенности потенциально-вихревое течение со свободной границей .....	45

### Механіка

Каминский А. А., Дудик М. В., Кипнис Л. А. Влияние области деструкции материала вблизи вершины межфазной трещины на условия ее страгивания .....	50
Кубенко В. Д. Нестационарная нагрузка на поверхности упругого полупространства ....	58
Мартынюк А. А. Об устойчивости траекторий множества разностных уравнений .....	66

### Фізика

Баранський П. І., Гайдар Г. П. Вплив високотемпературного відпалу на параметри анізотропії рухливості і анізотропії термо-ЕРС захоплення електронів фононами в $n\text{-Si}$ .....	70
Булавін Л. А., Гаврющенко Д. А., Коробко О. В., Сисоєв В. М., Черевко К. В. Дифузійні потоки та продукування ентропії в плоскопаралельній порі у випадку ідеального розчину .....	76

### Матеріалознавство

Ніколюк П. К., Ющенко А. В., Стасенко В. А., Ніколайчук В. Я. Дегібрідизація в сполуках $R\text{Al}_2\text{Si}_2$ .....	83
-------------------------------------------------------------------------------------------------------------------------	----

### Науки про Землю

Дугін С. С. Оцінка і вибір полігонів для наземної завірки інформації космічного геомоніторингу .....	87
Ковал'чук Л. А. Моделирование динамики статистических распределений температуры воздуха посредством процесса Оринштейна-Уленбека и уравнений Фоккера-Планка .....	95
Пустовітенко Б. Г., Мережей Е. А. К прогнозу ожидаемых сейсмических воздействий от сильных землетрясений Крыма .....	102

<i>Шаталов Н. Н. Крупная Новоигнатьевская дайка андезитовых порфиритов — как индикатор разломно-блоковой тектоники и глубинного строения зоны сочленения Донбасса с Приазовьем</i> .....	110
<b>Хімія</b>	
<i>Бичков К. І., Теребіленко К. В., Слабодянук М. С. Кристалоутворення BiVO<sub>4</sub> в розрізі від системи K—Bi—V—Mo—O</i> .....	116
<i>Дамченко І. В., Киселіова Т. О., Народській Л. Ф., Гаматенко Н. А. Розробка та дослідження біологічно активного полімерного матеріалу з іммобілізацією вінкристином</i> ...	121
<i>Жемлюк О. Ю., Тарнаечник І. Т., Воронов А. С., Будішевська О. Г., Козум А. М., Вересов С. А. Особливості формування гідрогелів на основі хітозану та полі(алеїнглікольдікетопарвату) під час термообробки</i> .....	128
<b>Біологія</b>	
<i>Крунцев Г. М., Линчен О. В., Іблонечка С. В., Волгинчакіна О. М., Данилев М. О., Бичко А. В., Рибалченко В. К. Властивості пандану кіралу як потенційний проти-пухлинисучий екстракт нового покоління</i> .....	138
<i>Тимкевич Ю. О., Волинь Р. А. Новий структурний клас ШР рДМК <i>Rosa multiflora</i> Стер.</i> ..	143
<b>Біотехнологія</b>	
<i>Урмант Л. П., Маневчиков С. М., Десняк Т. А., Пільчара М. О., Каменікова І. М., Цап П. Ю., Вересницький Г. К., Луковський В. В., Камінський О. В. Зав'язування монАТ П-Фі в Ас20-78 дієнізовані фібриногену його будови іммунну і низькотінкову дієздатності в ВІ126-135 сайті молекули</i> .....	149
<b>Медицина</b>	
<i>Кельниш В. В., Швец А. В. Проблема надежності: новий підхід і сценарій якості в операційній діяльності</i> .....	157
<i>Пушкарєв В. М., Козум О. І., Пушкарєв В. В., Треніна М. Д. Дія пам'ятковому та інгібітора ядерного фактора NF-кБ на пухлини раку щитоподібної залози <i>in vivo</i></i> .....	164



УДК 538.915

П. К. Ніколюк, А. В. Ющенко, В. А. Стасенко, В. Я. Ніколайчук

### Дегібридизація в сполуках $RAl_2Si_2$

(Представлено членом-кореспондентом НАН України В. Б. Молодкіним)

Теоретично розглянуто явище дегібридизації для інтерметалічних ізоструктурних сполук ряду  $RAl_2Si_2$  ( $R$  – Sm, Eu, Gd, Tb, Er, Yb). Показано фізичну природу виникнення  $\delta$ -подібного піка, величина якого пропорційна кількості вузлів ( $N$ ), утворених структурними елементами  $R$ –Si. У порівнянні з однічною домішкою величина  $\delta$ -подібного піка зростає в  $N$  разів. Це зумовлено тим, що орбіталі  $R$ –Si, відіграють роль електронних дефектів, періодично розташованих у межах всієї кристалічної решітки. Проведені експериментальні й теоретичні дослідження показали високу ступінь кореляції та само узгодженості, що дозволяє розглядати атомні зв’язки  $R$ –Si як своєрідні електронні дефекти, сильно збурюючи електронну систему сполук ряду  $RAl_2Si_2$ . Таке збурення проявляється у виникненні інтенсивних резонансних піків електронних станів, які формуються у валентній зоні досліджуваних інтерметалідів в результаті дії дегібридизаційного фактора.

Дослідженю явища дегібридизації присвячена дана робота, яка має узагальнюючий характер і спрямована на систематизацію отриманих результатів. В інтерметалічних ізоструктурних сполуках ряду  $RAl_2Si_2$  ( $R$  – Sm, Eu, Gd, Tb, Er, Yb) такий феномен описаний у наукових публікаціях [1–3], в яких отримано і зіставлено в єдиній енергетичній шкалі  $K\beta_{1,x}$  – й  $L_{2,3}$  – смуги емісії Si й Al. Рентгенівські емісійні смуги Al й Si у сполуках  $ErAl_2Si_2$ ,  $GdAl_2Si_2$  й  $EuAl_2Si_2$ , що зіставлені в єдиній енергетичній шкалі за допомогою рентгеноелектронних даних, ілюструє рис. 1. У вказаних сполуках спостерігаються специфічні трансформації емісійних смуг обох компонентів, але особливо  $L_{2,3}$ -смуг Al. Характерною особливістю є те, що вказані смуги складаються з інтенсивних високо- і низькоенергетичних піків (піки A та C див. на рис. 1), розділених глибоким мінімумом. При цьому виявляється, що має місце точний збіг максимумів S і  $K\beta_{1,x}$ -смуг (маркер В див. на рис. 1) з мінімумами розділених  $AlL_{2,3}$ -смуг (як правило,  $L_{2,3}$ -спектри Al в сполуках різного роду характеризуються монотонним розподілом інтенсивності з лише одним максимумом [4]). Треба зауважити, що при дослідженні сполук рентгеноспектральним та рентгеноелектронним методами в електронно-енергетичних діаграмах зазвичай спостерігається більше або менше виражена гібридизація електронних станів – прояв електронних станів одного компонента

© П. К. Ніколюк, А. В. Ющенко, В. А. Стасенко, В. Я. Ніколайчук, 2014

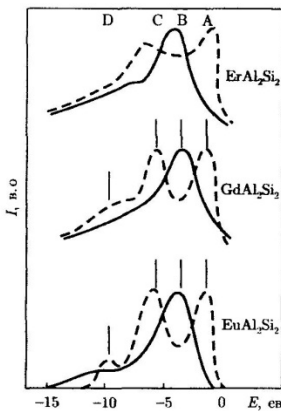


Рис. 1. Електронна структура валентної зони сполук ряду  $R\text{Al}_2\text{Si}_2$  ( $R - \text{Er}, \text{Gd}, \text{Eu}$ ), що ілюструє явище дегібридизації: ( $\text{Si}K\beta_{1,x}$  — смуга емісії (суцільна лінія);  $\text{Al}L_{2,3}$  — смуга (пунктир)). Смуги зіставлені в єдиній енергетичній шкалі за рентгеноелектронними даними. Маркерам А, В, С і D сполуки  $\text{ErAl}_2\text{Si}_2$  відповідають вертикальні мітки над спектрами сполук  $\text{GdAl}_2\text{Si}_2$

сполуки в спектрах іншого. Наприклад, фундаментальне дослідження Є. О. Жураковсько-го по бінарних силіцидах і германідах [4] показує в спектрах сполук різного роду тільки гібридизаційні ефекти. Так само аналогічна ситуація спостерігається в роботах [5–7]. Отже, в нашому випадку ми маємо справу з особливою, специфічною ситуацією.

Дегібридизація — антипод гібридизації. Фізична суть дегібридизації в тому, що гібридна  $K\beta_{1,x}$ -смуга Si є енергетично стійкою і тому не утворює хімічних зв'язків з Al, а навпаки, спричиняє розділення  $s(d)$ -станів цього металу ( $L_{2,3}$ -смуга), внаслідок чого з'являються інтенсивні низько-й високогенеретичні резонанси на його  $L_{2,3}$ -смугах, що розділені мінімумом, на який припадає центр мас  $K\beta_{1,x}$ -смуги кремнію.

Явище має ряд важливих наслідків. По-перше, спостерігається енергетичне зміщення — як в низько-, так і у високогенеретичний бік — електронних станів  $s(d)$ -симетрії Al під впливом енергетично стійких електронних станів Si. По-друге, густина електронних станів на рівні Фермі сполуки сильно зростає [2]. По-третє, різких змін зазнають фізичні властивості таких об'єктів [1–3].

Роль гібридних енергетично стійких станів відіграють двоцентрові валентнозв'язуючі орбіталі типу  $(3spd)_{\text{Si}} - (4f5d6s)_R$  [2, 3], наявність яких власне і спричиняє енергетичну стійкість гібридної  $\text{Si}K\beta_{1,x}$ -смуги. Тут слід відзначити, що між елементами сполук типу  $R\text{Al}_2\text{Si}_2$  має місце як гібридизація типу  $R-\text{Si}$ , так і її антипод — дегібридизація: між орбітальними  $R-\text{Si}$ , з одного боку, та Al — з іншого.

Таким чином, явище дегібридизації є фактично проявом сепарації валентних орбітальей у складних (багатокомпонентних) сполуках, де електровід'ємності хоча б двох компонентів істотно різняться, що приводить до формування стійких електронних конфігурацій між двома елементами з різко відмінними електровід'ємностями  $\chi$  (у даному випадку максимальна різниця  $\chi$  має місце якраз для Si й R). Третій компонент з проміжним значенням  $\chi$  (у даному випадку Al) якраз і проявляє тенденцію до сепарації електронних станів. Власне тому в даному випадку можна говорити про дегібридизаційно-гібридизаційні ефекти.

Теоретична модель явища дегібридизації детально описана в статті [8], де на прикладі купріатних сполук розроблений математичний апарат такого феномена. Зауважимо, що явище має універсальний характер, оскільки проявляється як у сполуках різного компонентного складу, так і різних структурних типів [8].

Застосувавши алгоритм [8], для густини електронних станів  $g(E)$  в околі рівня Фермі матимемо:

$$g(E) = g_0(E) + N\delta(E - E_L), \quad (1)$$

де  $g_0(E)$  — густина електронних станів у незбуреному стані;  $E_L$  — енергія локалізованого  $\delta$ -подібного резонансного піка,  $N$  — кількість вузлів, утворених структурними елементами  $R\text{-Si}$ .

З формули (1) випливає, що в порівнянні з одничною домішкою, величина  $\delta$ -подібного піка зростає в  $N$  раз. Це обумовлено тим, що орбіталі  $R\text{-Si}$  відіграють роль електронних дефектів, періодично розташованих у межах всієї кристалічної решітки і збуруючих валентну електронну систему сполуки.

Отримані в серії робіт як експериментальні, так і теоретичні результати [1–3, 8], підтверджують факт зростання густини електронних станів в області прифермієвських енергій. Описані особливості можуть мати широкий спектр наслідків, тому що спричиняють зміни в густині станів в зоні прифермієвських енергій. Останні, як відомо, істотно впливають на кінетичні, магнітні, калориметричні, надпровідні та інші властивості сполук, що визначаються структурою розподілу та заселенню саме прифермієвських електронних рівнів. Дослідження в даному напрямі надзвичайно перспективні, тому що дають ключ для синтезу нових матеріалів на основі алгоритму, вказаного вище. Сформулюємо цей алгоритм у компактному вигляді: *для отримання сполук з різко аномальними властивостями необхідно синтезувати матеріали, що містять у своєму складі як мінімум три компоненти з різко відмінними величинами електровід'ємностей*.

1. Ніколюк П. К. Явище дегібридизації електронних станів в сполуках  $\text{SmAl}_2\text{Si}_2$  та  $\text{EuAl}_2\text{Si}_2$  // Металлофіз. новітн. технології. – 2001. – **23**, № 1. – С. 27–33.
2. Ніколюк П. К. Дегібридизація в сполуках  $\text{GdAl}_2\text{Si}_2$  та  $\text{ErAl}_2\text{Si}_2$  // Там же. – 2001. – **23**, № 8. – С. 1111–1116.
3. Ніколюк П. К., Зузяк П. М., Мартинюк В. Д. та ін. Дегібридизація в сполуках  $\text{TbAl}_2\text{Si}_2$  та  $\text{YbAl}_2\text{Si}_2$  // Там же. – 2002. – **24**, № 11. – С. 1477–1482.
4. Жураковський Е. А., Францевич І. Н. Рентгеновские спектры и электронная структура силицидов и германидов. – Київ: Наук. думка, 1981. – С. 46–299.
5. Jarlborg T., Barbiellini B., Markiewicz R. S., Bansil A. Different doping from apical and planar oxygen vacancies in  $\text{Ba}_2\text{CuO}_{4-\delta}$  and  $\text{La}_2\text{CuO}_{4-\delta}$ : First principles band structure calculations // Phys. Rev. B. – 2012. – **86**. – Р. 235111.
6. Jacobs T., Catterue S. O., Motzkau H. et al. Electron-tunneling measurements of low- $T_C$  single-layer  $\text{Bi}_{2+x}\text{Sr}_{2-y}\text{CuO}_{6+\delta}$ : Evidence for a scaling disparity between superconducting and pseudogap states // Ibid. – 2012. – **86**. – Р. 214506.
7. Plonka N., Kemper A. F., Graser S. et al. Tunneling spectroscopic for probing orbital anisotropy in iron pnictides // Ibid. – 2013. – **88**. – Р. 174518.
8. Ніколюк П. К., Ніколайчук В. Я., Дзісь В. Г. та ін. Явище дегібридизації в купритах // Доп. НАН України. – 2007. – № 5. – С. 104–109.

Вінницьке Регіональне відділення  
Українського Союзу промисловців  
і підприємців України

Надійшло до редакції 10.12.2013

**П. К. Николюк, А. В. Ющенко, В. А. Стасенко, В. Я. Николайчук**

**Дегибридизация в соединениях  $RAl_2Si_2$**

Теоретически рассмотрено явление дегибридизации для интерметаллических изоструктурных соединений ряда  $RAl_2Si_2$  ( $R$  – Sm, Eu, Gd, Tb, Er, Yb). Показана физическая природа возникновения  $\delta$ -образного пика, величина которого пропорциональна количеству узлов ( $N$ ) образованных структурными элементами R–Si. По сравнению с единичной примесью величина  $\delta$ -образного пика возрастает в  $N$  раз. Это обусловлено тем, что орбитали R–Si играют роль электронных дефектов, периодически расположенных в пределах всей кристаллической решетки. Проведенные экспериментальные и теоретические исследования показали высокую степень корреляции и самосогласованности, что позволяет рассматривать атомные связи R–Si как своеобразные электронные дефекты, сильно возмущающие электронную систему соединений ряда  $RAl_2Si_2$ . Такое возмущение проявляется в возникновении интенсивных резонансных пиков электронных состояний, формирующихся в валентной зоне изучаемых интерметаллидов в результате действия дегибридизационного фактора.

**P. K. Nikolyuk, A. V. Yushchenko, V. A. Stasenko, Ya. V. Nikolaichuk**

**Dehybridization in  $RAl_2Si_2$  compounds**

*The theoretical consideration of the dehybridization phenomenon for intermetallic isostructural compounds of  $RAl_2Si_2$  ( $R$  – Sm, Eu, Gd, Tb, Er, Yb) row has been performed. The physical nature of the occasion of a  $\delta$ -like hump, value of which is proportional to the number of lattice sites  $N$  formed by R–Si structural elements is clarified. In comparison with a single admixture, the value of  $\delta$ -like hump is more by  $N$  times. This is caused by that the orbitals R–Si play the role of electronic defects, which are periodically located in the frame of the crystal. The performed theoretical and experimental investigations show a great degree of correlation and self-consistency. This gives possibility to view R–Si bonds as specific electronic defects, which strongly perturb the electronic system of  $RAl_2Si_2$  compounds. Such perturbation is displayed in arising the intense resonance humps of electronic states, which are formed in the valence zone of the intermetallids under study as a result of the dehybridization factor action.*